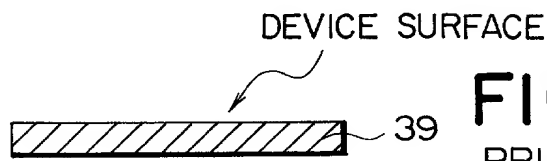
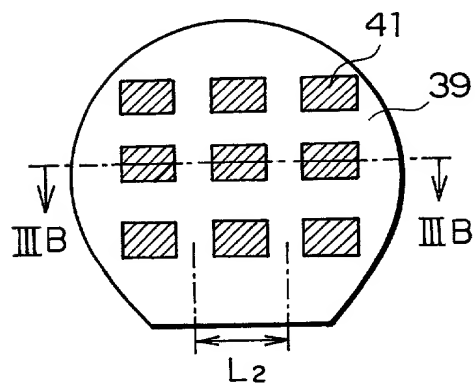


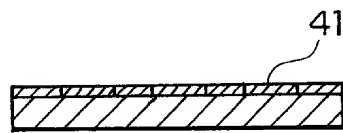
**FIG. 2A**  
PRIOR ART



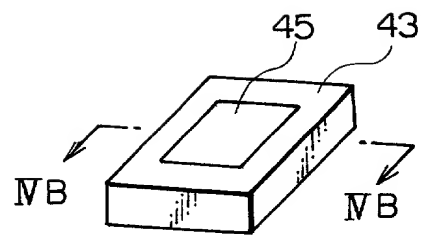
**FIG. 2B**  
PRIOR ART



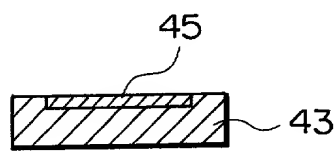
**FIG. 3A**  
PRIOR ART



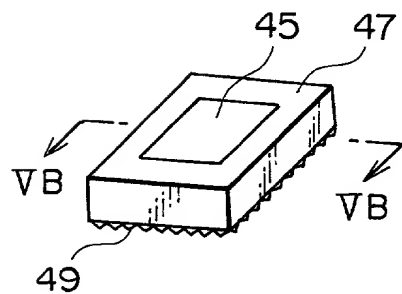
**FIG. 3B**  
PRIOR ART



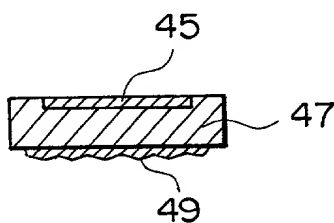
**FIG. 4A**  
PRIOR ART



**FIG. 4B**  
PRIOR ART



**FIG. 5A**  
PRIOR ART



**FIG. 5B**  
PRIOR ART

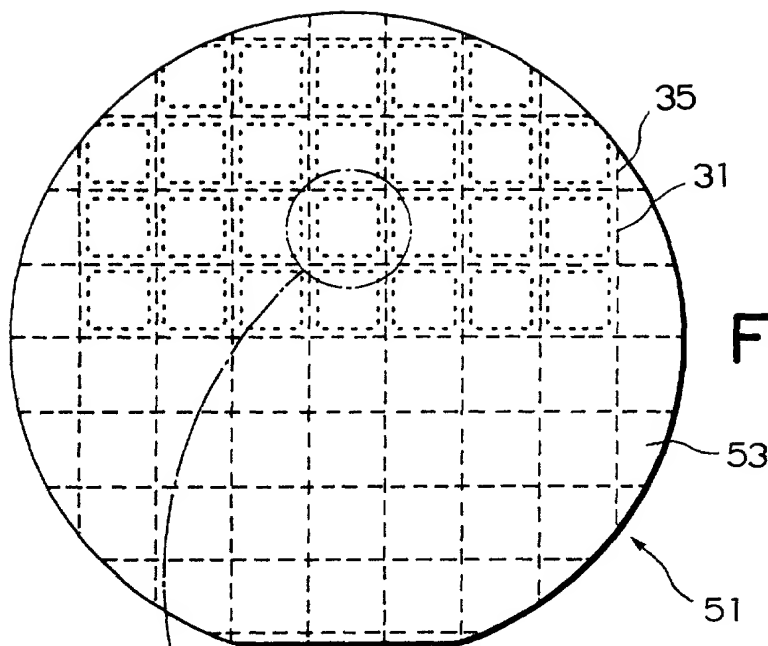


FIG. 6A

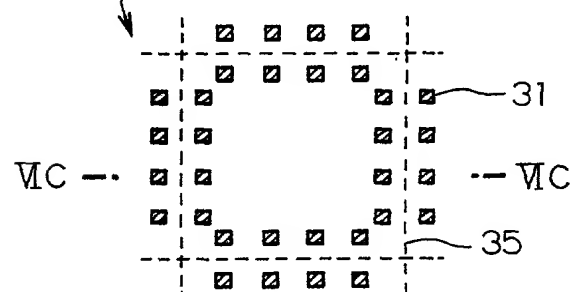


FIG. 6B

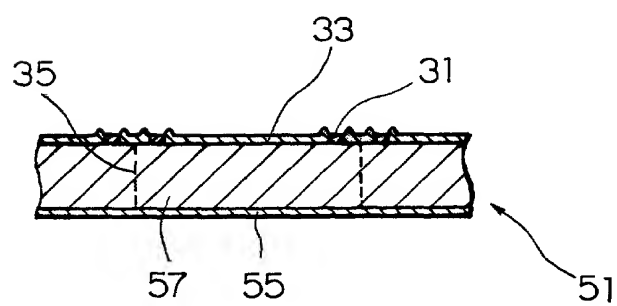
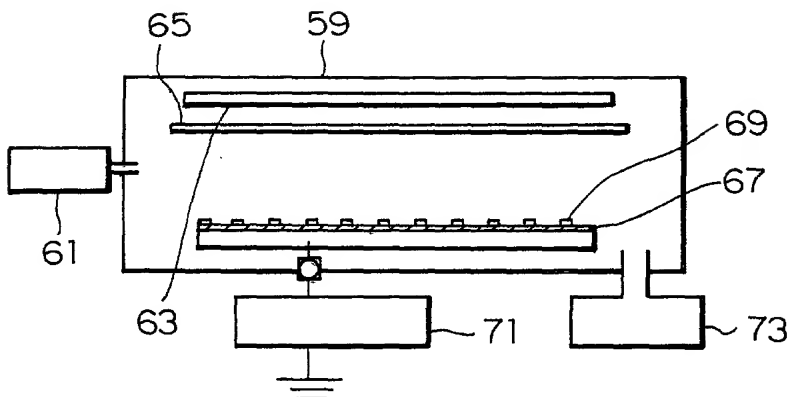
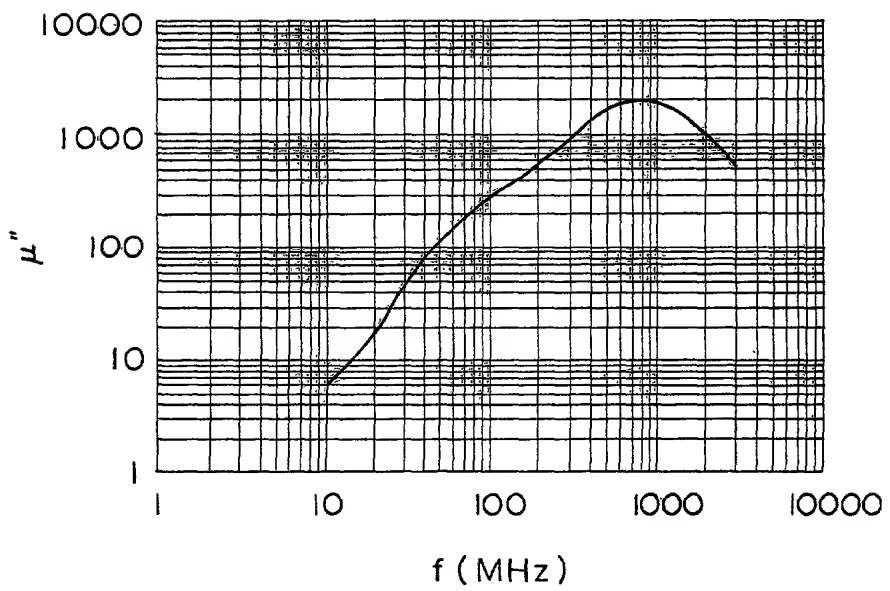


FIG. 6C



**FIG. 7**



**FIG. 8**

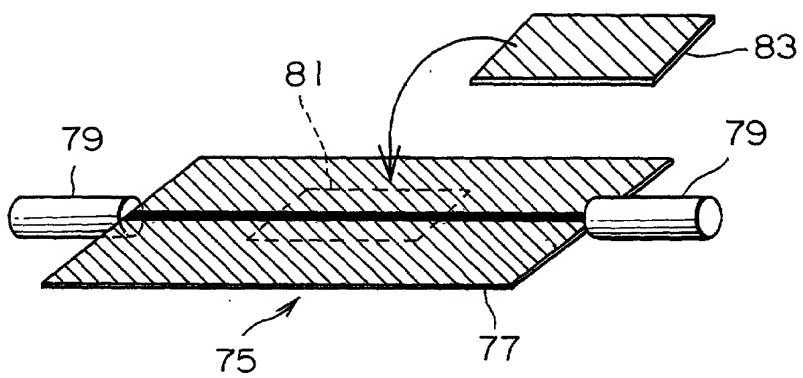


FIG. 9

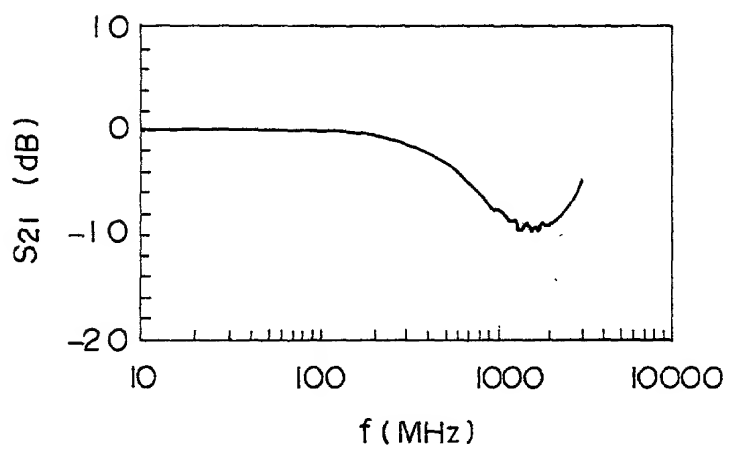
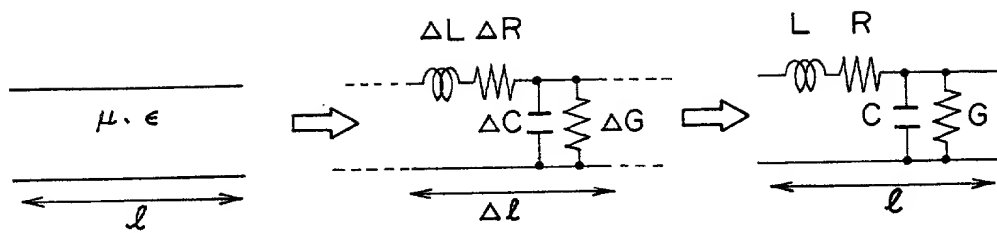
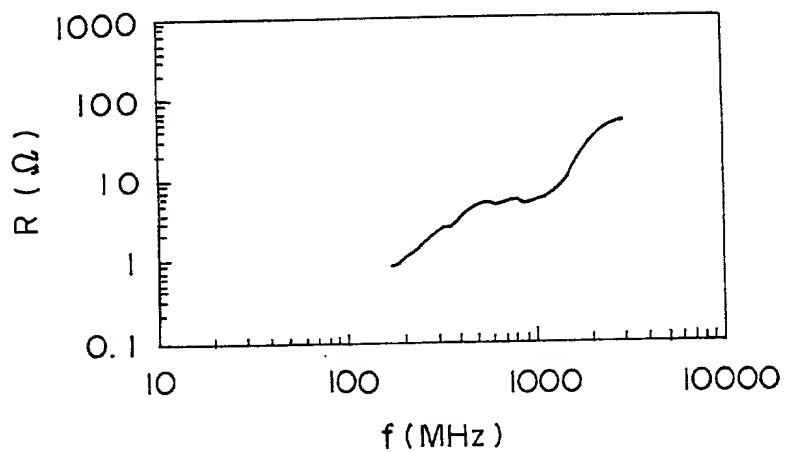


FIG. 10

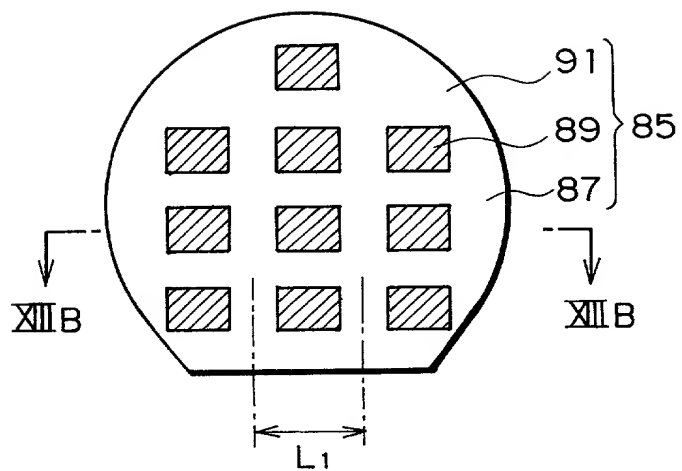


**FIG. 11**

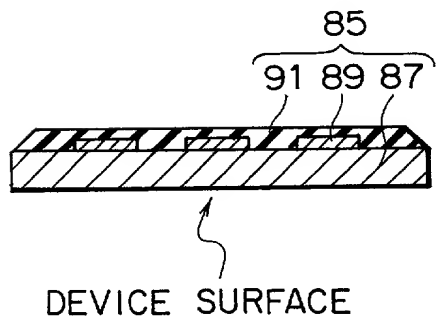
T. Saitoh et al. / Journal of Magnetism and Magnetic Materials 312 (2007) 10–14



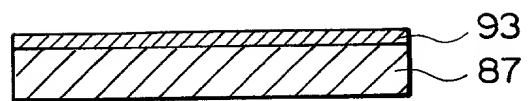
**FIG. 12**



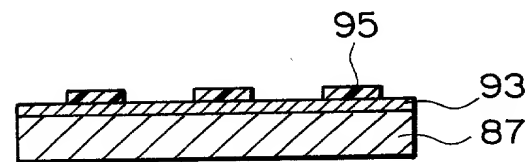
**FIG. 13A**



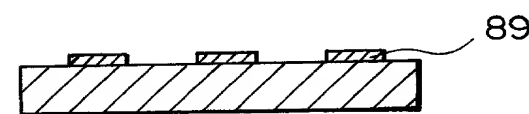
**FIG. 13B**



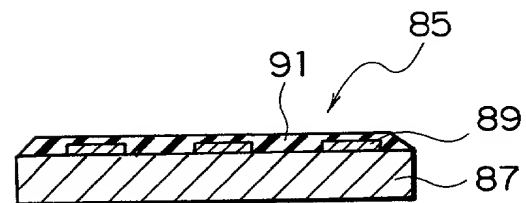
**FIG. 14A**



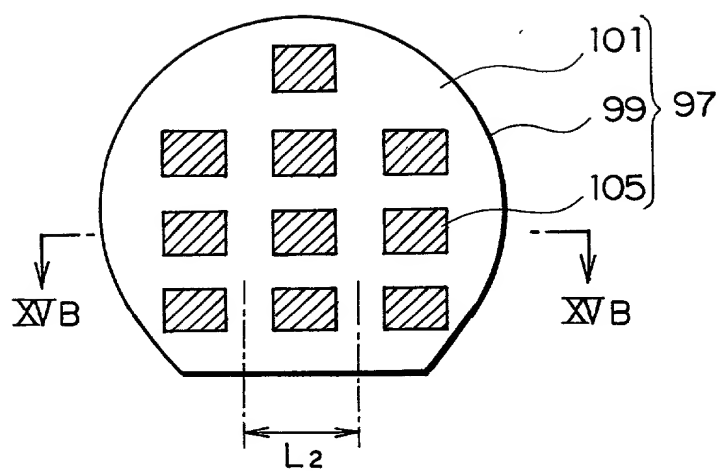
**FIG. 14B**



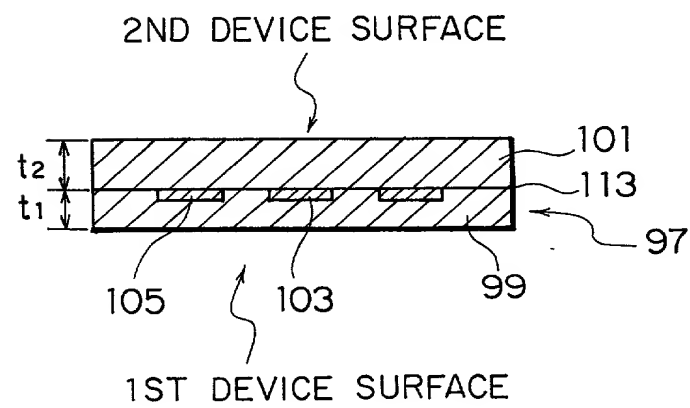
**FIG. 14C**



**FIG. 14D**

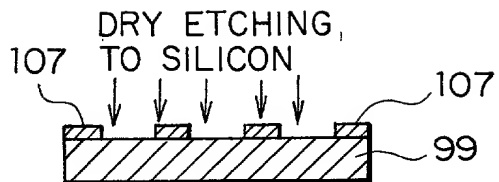


**FIG. 15A**

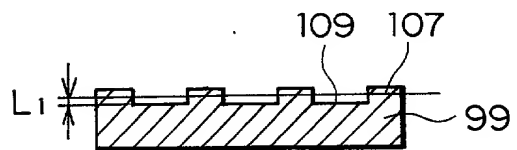


**FIG. 15B**

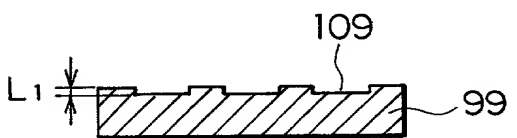
**FIG. 16A**



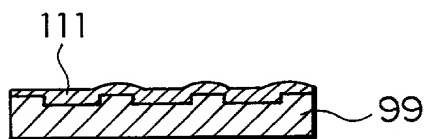
**FIG. 16B**



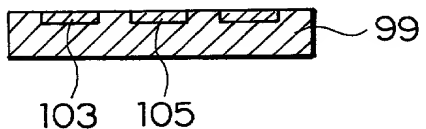
**FIG. 16C**



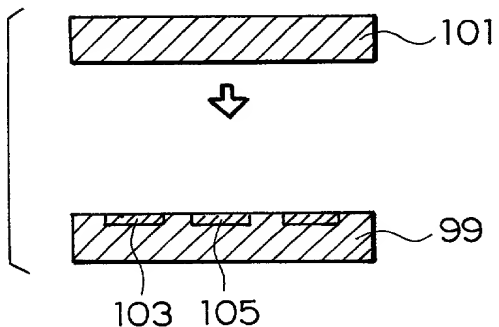
**FIG. 16D**



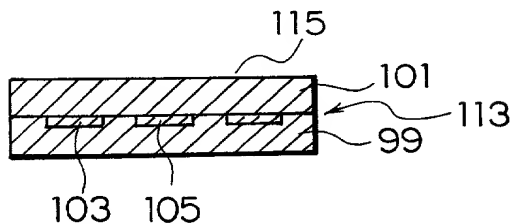
**FIG. 16E**

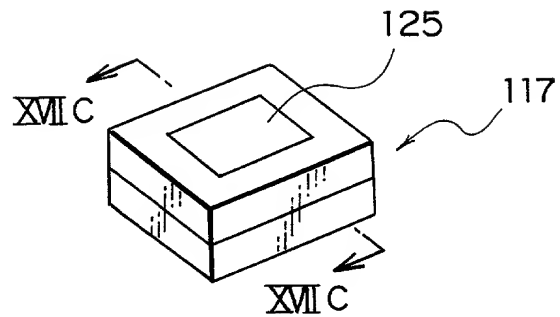


**FIG. 16F**

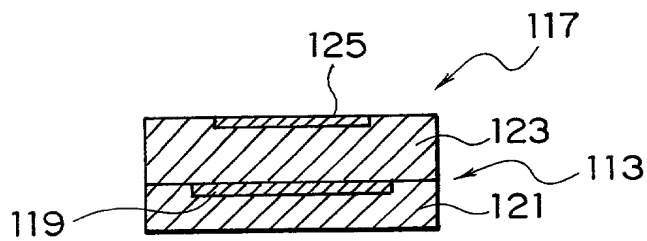


**FIG. 16G**





**FIG. 17A**



**FIG. 17B**

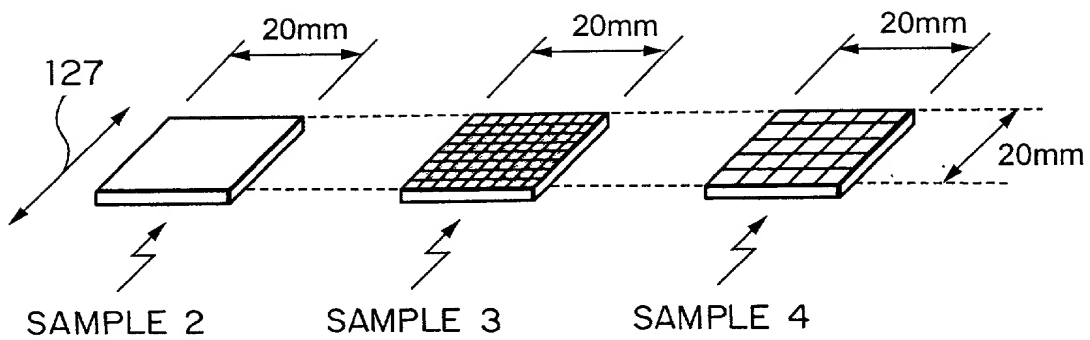


FIG. 18

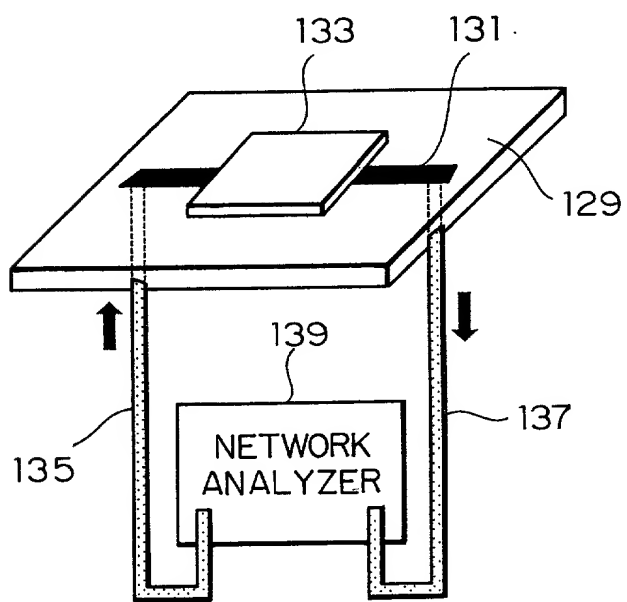


FIG. 19

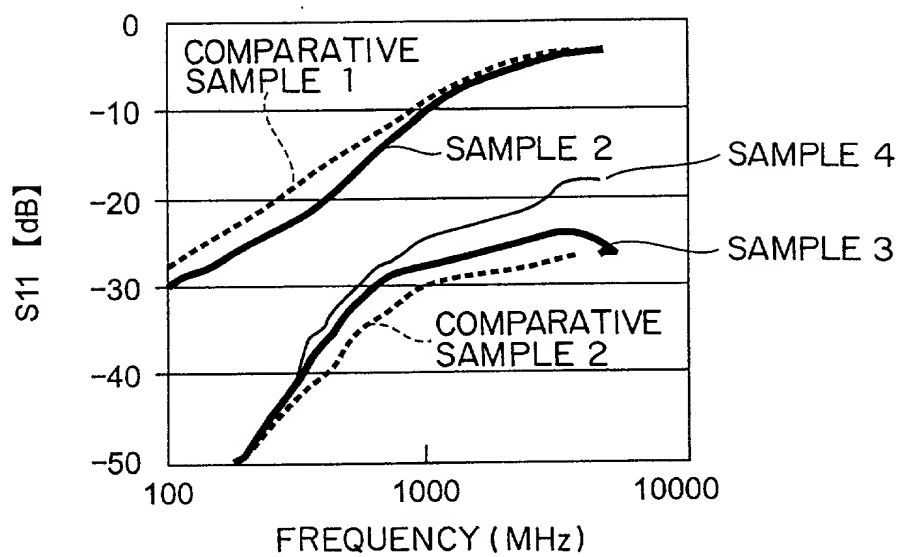


FIG. 20

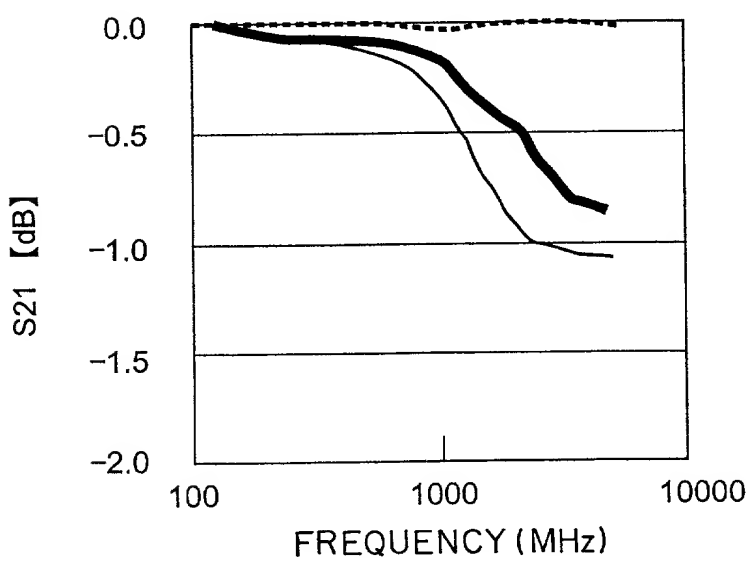
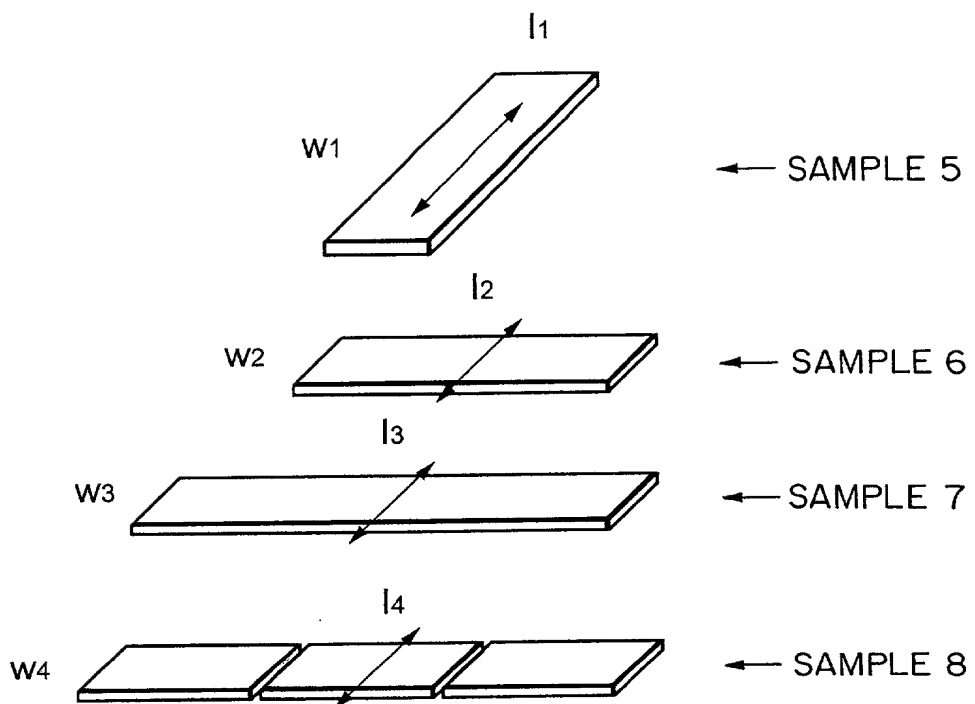
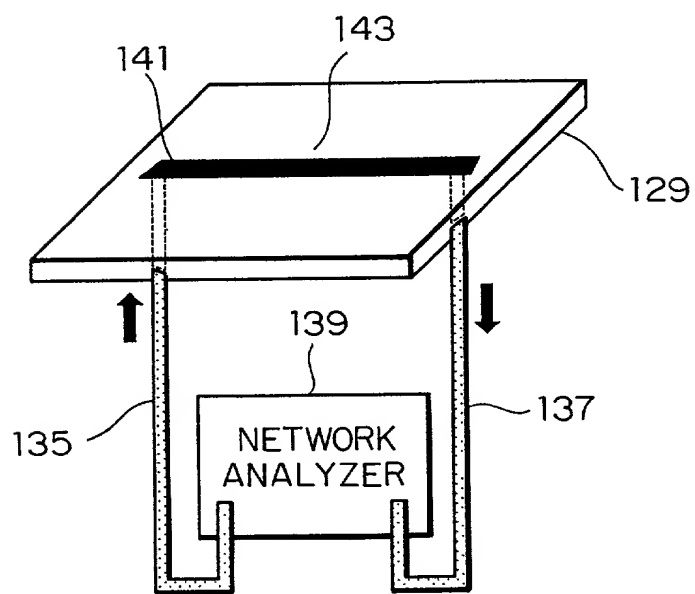


FIG. 21



**FIG. 22**



**FIG. 23**

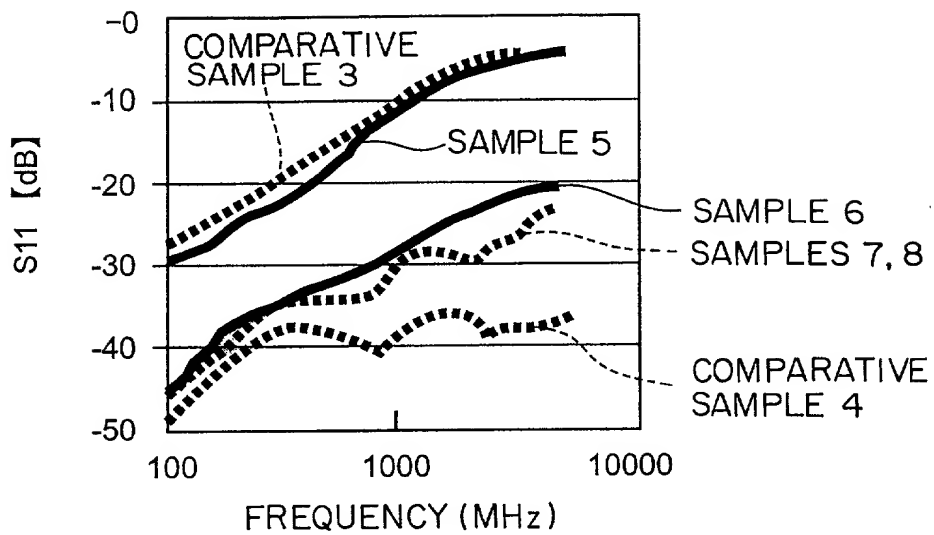


FIG. 24

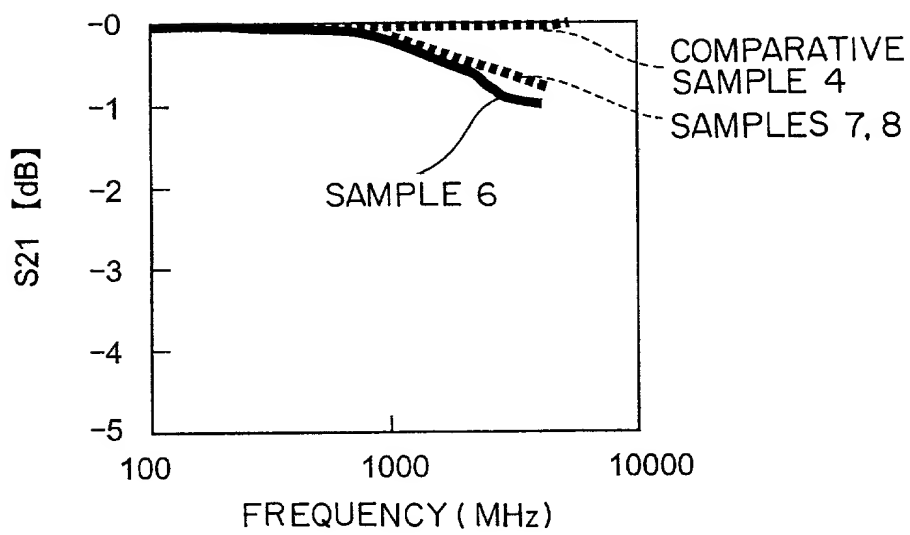


FIG. 25